

論 文

光纖維를 利用한 Magneto-Optic Current Transformer實現에 關한 研究

正會員 李 相 孝* 正會員 金 恩 淳**

A Study on the Realization of Magneto-Optic Current Transformer by Optical Fiber

Sang Hyo LEE* and Eun Soo KIM**, Regular Members

要 約 本論文에서는 MCT(magneto-optic current transformer)를 구성하기 위한 単一모우드光纖維의 偏光特性 및 파라데이回轉에 대한 分析 및 實驗을 하였다. 分析過程에서 単一모우드光纖維는 線形遲延器로 모델링하였으며 측정결과 순수birefringence는 $2.57^{\circ}/\text{m}$ 로 나타났고 구부림에 의한 birefringence는 구부림 반지름의 제곱에 반비례하였다. 그리고 파라데이回轉에 대한 理論的解析의 결과 자계의 세기(H)에 대한 曲率회전감도(F)는 $F/H = 1.4 \times 10^{-8} \text{ rad}/[\text{A}/\text{m}]$ 로 나타났다.

ABSTRACT In this paper, the polarization and Faraday rotation properties of the single mode optical fiber have been investigated for magneto-optic current transformer application. On the analysis, the optical fiber is modeled as a linear retarder and the intrinsic birefringence of the optical fiber is approximately found to be $2.57^{\circ}/\text{m}$ from the measurement, and the bend-induced birefringence is proportional to the inverse square of bending radius. The polarization rotation sensitivity is found to be $F/H = 1.4 \times 10^{-8} \text{ rad}/[\text{A}/\text{m}]$ from the analysis of Faraday rotation of single mode optical fiber.

1. 序 論

一般的으로 光纖維속을 진행하는 빛은 여러 가지 원인에 의해 光學的으로 균일하지 않은 매질 속을 진행할 때와 같은 偏光特性 즉 birefringence가^{(1),(2)} 나타나는데 最近에 이러한 光纖維의 偏光特性을 이용하여 光纖維를 計測用 sensor로서 應用하고자 이에 대한 많은 研究가⁽³⁾ 진행되고 있다.

理想的인 単一모우드光纖維의 경우 그 구성이 균일하며 축대칭이 되므로 birefringence가 나타

나지 않지만 光纖維의 제조과정에서 생기는 결함들 즉 불균일한 stress, 光纖維core의 ellipticity 등에 의하여 실제의 単一모우드光纖維에서는 birefringence를 흔히 관찰할 수 있다⁽⁴⁾.

근래에는 이러한 효과들을 거의 없앨 수 있는 方法⁽⁵⁾들이 開發되어 intrinsic birefringence가 상당히 작은 単一모우드光纖維가 개발되고 있지만 이러한 光纖維라도 外部에서 作用할 수 있는 여러 가지 원인 즉 비틀림(twisting)⁽⁶⁾, 구부러짐(bending)⁽⁷⁾, 온도, 압력⁽⁸⁾ 및 磁氣場등에^{(9),(10)}의해서 birefringence가 유도되는데 이 중에서 磁氣場에 의한 偏光特性을 Faraday(magneto-optic)효과라 하여 MCT(magneto-optic current transformer)의 기본이론이 된다.

*** 光云大學電子工學科

Dept. of Electronic Engineering, Kwangwoon University,
Seoul, 132 Korea.

論文番號 : 83-19 (接受 1983. 7. 25)

즉 光纖維에 외부 자기장이 인가되면 optical activity 즉 circular birefringence가 나타나 光纖維 속을 진행하는 선형편광된 빛의 편광각 (polarization angle)이 회전되므로 이를 측정하면 상태적인 전류의 측정이 가능하다¹².

따라서 本論文에서는 MCT구성을 위한 光纖維의 중요 편광특성인 intrinsic & bend-induced birefringence 와 Faraday효과에 대한 理論的解析 및 實驗結果에 대해 論하고자 한다.

2. Intrinsic birefringence

일반적으로 單一모우드光纖維에서는 서로 수직편광된 2개의導波모우드가 존재한다. 理想的인 光纖維에서는 서로 같은 위상속도로 전파되나 실제 光纖維에서는 제조과정에서 나타나는 thermal stress 및 core의 타원성 등에 의해 birefringence 혹은 phase retardation이 생기게 되고 결과적으로 線形偏光된 빛은 光纖維를 통과하게 되면 elliptical하게 편광되는데 이러한 光纖維의特性은 光纖維를 線形遲延器 (linear retarder)로 모델링함으로써 分析할 수 있다¹³.

즉 線形遲延 δ 를 갖는 光纖維의 slow 축에 대해 θ 각을 이루는 선형편광을 입사시키면 光纖維出力에서는 일반적으로 타원편광으로 나타나게 된다. 따라서 이러한 타원편광으로부터 편광도와 입출력 편광각의 관계를 구하면

$$P = (\cos^2 \theta + \cos^2 \delta \sin^2 \theta)^{1/2} \quad (1)$$

$$\tan 2\phi = \cos \delta \tan 2\theta \quad (2)$$

와 같이 주어진다.

식(1)에서 P 값은 入射光과 x 축이 이루는 각도 θ 에 따라

$$P = \begin{cases} 1 ; & \theta = m\left(\frac{\pi}{2}\right) \\ \cos \delta ; & \theta = (2m+1)\frac{\pi}{4} \end{cases} \quad (3)$$

와 같이 주어지며 $P=1$ 일 때는 선형편광됨을 의미하고 $P=0$ 일 때는 원편광된 빛을 의미하며 $0 < P < 1$ 일 때는 타원편광을 의미한다.

따라서 적당한 검출회로에 의해 P 값을 측정할 수 있으며 그로 光纖維의 intrinsic birefringence δ 값을 측정할 수 있다¹⁴.

그림 1은 intrinsic birefringence를 测定하기 위한 실험장치로서 그림 1과 같이 $\lambda/4$ plate를 光纖維의 出力側에 놓고 회전시키면 타원광의 장축과 단축이 $\lambda/4$ plate의 fast, slow 주파 일치할 때 선형편광된 빛이 나오게 되며 이것은 出力側의 선형편광기에 의해 分析된다.

이 때 $\lambda/4$ plate의 fast 주파 출력과의 선형편광기 주파 이후는 각각의 偏光파라미터 P 와 다음의 관계가 있다¹⁵:

$$P = \cos 2\xi \quad (4)$$

그리고도 같은 주정합으로써 P 값을 알 수 있다. 따라서 초기상태를 적당히 조절함으로써 입력편광기와 $\lambda/4$ plate의 상대적인 방위를 측정할 수 있으며 입력편광기의 변화에 대해 $\lambda/4$ plate의 방위 ξ 를 주정합으로써 절대크기 θ 와 ϕ 가 유도되고 식(1),(2)에 의해 $\cos \delta$ 가 결정된다. 따라서 입력선형편광기 $\lambda/4$ plate와 출력선형편광기의 회전각을 조절함으로써 광점출기에 의해 intrinsic birefringence를 측정할 수 있다.

본 실험에 사용된 單一모우드光纖維의 特性은 그림 1과 같이 실험결과 intrinsic birefringence는 $2.57\%/\text{m}$ 로 나타났다¹⁶.

3. Bend-induced birefringence

일반적으로 光纖維가 그림 2와 같이 구부림

표 1 光纖維의 特性
Properties of the fiber.

core composition	$\text{GeO}_2/\text{SiO}_2$
cladding composition	$\text{B}_2\text{O}_3/\text{SiO}_2$
core diameter	$4\mu\text{m}$
overall fiber diameter	$130\mu\text{m}$
relative index difference	1×10^{-3}
coating material	silicone

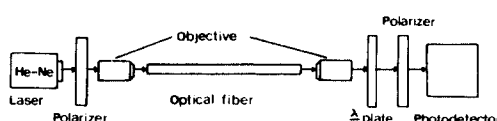
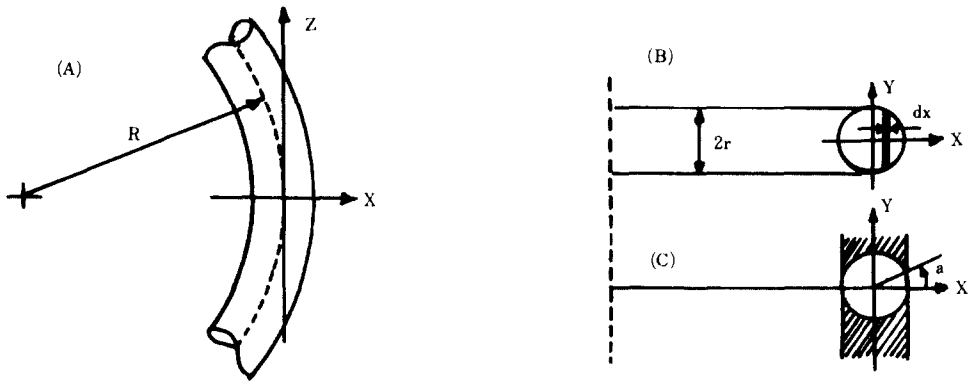


그림 1 Intrinsic birefringence 실험장치
Intrinsic birefringence measurement apparatus.

그림 2 구부린 광섬유의 구조
Geometry of a bent fiber.

(bending)을 받았을 때 birefringence가 나타나는 데 이러한 광纖維의 편광상태변화는 elastic stress field이론으로 해석될 수 있다.

Ulrich의 해설결과에^[7] 의하면 코어 굽절률이 n 인 모우드 광纖維에서 birefringence는

$$\delta_b = k_x - k_y \approx k(\delta n_x - \delta n_y) \quad (5)$$

와 같이 주어지며 여기에서 k_x, k_y 는 x, y 축에 각각 편광된 HE₁₁모우드의 전파상수이며 k 는 자유 공간에서의 전파상수이다. 단성광 굽절률 변화인 δn_x 와 δn_y 는 $\delta n_t = -(n^3/2) \sum P_{ij} \epsilon_j$ 의 관계식에 의해 계산될 수 있다^[8]. 여기에서 P_{ij} 는 응력변형광 계수(strain optical coefficient)이고 ϵ_j 는 응력변형 벡터 성분을 나타낸다. Poisson비 ν 를 사용하면

$$\epsilon_x - \epsilon_y = (\sigma_x - \sigma_y)(1 + \nu)/E \quad (6)$$

가 되므로 구부림에 의한 birefringence δ_b 는 결과적으로

$$\delta_b = 0.25 kn^3 (P_{11} - P_{12})(1 + \nu) k^2 r^2 \quad (7)$$

이 된다.

따라서 구부림에 의한 birefringence는 구부림 반지름 제곱의 역수에 선형적으로 비례함을 알 수 있다.

실리카의 경우 식(7)에 상수값 $n = 1.46$, $\nu = 0.17$, $\lambda = 6328\text{Å}$, $P_{11} - P_{12} = -0.15$ 를 대입하면

$$\delta_b = -7.7 \times 10^7 k^2 r^2 \text{deg/m} \quad (8)$$

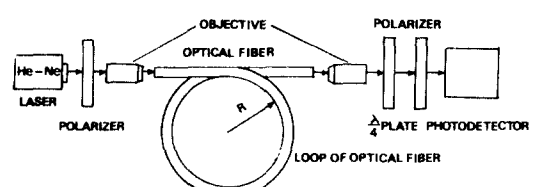
와 같이 주어진다.

구부림에 의한 birefringence를 측정하기 위한 시스템은 그림 3과 같다. 구부림 이외의 다른 영향을 받지 않도록 원통형 former에 광纖維를 조심스럽게 감은 후 임의의 선형편광을 입사시키면 입력선형편광은 광纖維를 통과함에 따라 구부림에 의한 birefringence에 의해 광纖維出力에 서는 타원편광으로 나타난다.

이러한 출력 타원편광으로부터 구부림에 의한 birefringence를 구하기 위해 intrinsic birefringence의 경우와 같은 annulling방법을 사용하였다.

즉 광纖維의 出力光에 $\lambda/4$ plate를 놓고 회전시키면 $\lambda/4$ plate를 통과한 빛이 선형편광이 되는 점이 나타나게 된다. 따라서 그 위치에서 $\lambda/4$ plate를 통과한 빛은 출력 편광기에 의해 annulling됨으로써 분석된다.

이 때 출력 타원편광의 장, 단축은 $\lambda/4$ plate의 fast, slow 주파 일치하게 된다. 또한 편광도는 $\lambda/4$ plate의 fast 축방향과 분석기의 수광방향

그림 3. 구부림에 의한 birefringence 측정 장치도
Block diagram of the bend-induced birefringence measurement system.

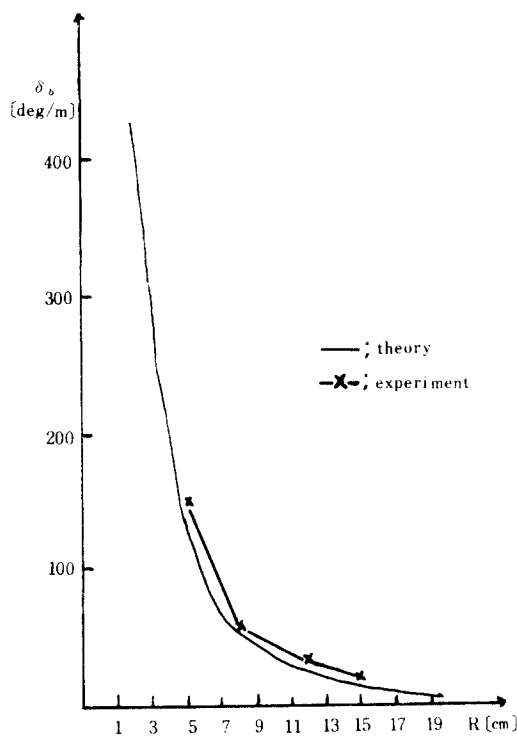


그림 4 단일 모드 광섬유의 구부림에 의한 birefringence.
Bending birefringence of single mode fiber.

이 이후는 각 δ 에 의해 식(4)와 같이 주어지므로 δ 값을 추정함으로써 P 값을 구하게 되고 식(1),(2)로부터 구부림에 의한 birefringence를 구할 수 있다.¹⁶⁾

실험 결과 구부림이 심한 ($R < 3\text{cm}$) 경우에는 심한 birefringence가 나타나고 구부림에 의한 birefringence는 구부림 반사를 제곱의 역수에 거의 비례함을 알 수 있다.

그림 4는 구부림에 의한 birefringence의 이론 및 실험결과를 나타낸 것이다.

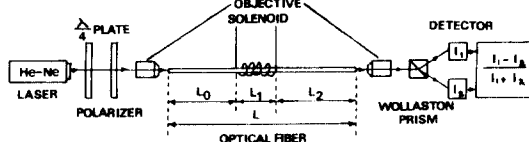


그림 5 파라데이효과를 이용한 전류측정 시스템도
Block diagram of the current measurement system using faraday effect.

4. Faraday rotation

单一モード光纖維에 빛의 진행방향과 평행하게 자세가 인가되면 입사광의 전파방향이 회전하여 회전수에 나타난다. 주자세의 영향에 의하여 광섬유는 circular birefringence (optical activity) 현상을 나타낸다. 이것을 Faraday rotation이라 하여 MCT의 기본원리가 되니^{12,17)}.

진행전광된 빛의 회전량 F 는 인가된 자세의 세기 H 와 자세의 영향을 받은 광섬유의 길이 l 에 선형적으로 아래와 같다.¹²⁾

$$F = V \int_l H \cdot dl \quad (9)$$

(V: verdet 상수)

그림 5는 MCT의 기본 시스템으로 광섬유가 회전방향으로 진행하게 자세가 영향을 받으면 교류 birefringence에 의한 위상지연과 파라데이效果에 의한 엔생회전이 복합된 형태로 나타나는데 Wollaston프리즘에 의하여 두 방향의 전파전광상분이 광간적으로 분리되어 2개의 광검출기가 감지된다.

그림 6은 intrinsic birefringence와 Faraday效果의 상호관계를 해석하기 위한 모델이다. 주길이가 l 인 광섬유의 중간 l_1 에 빛의 진행방향과 평행하게 자세가 인가되면 l_0 에서는 δ_0 만큼의 위상지연이 생기고 l_1 에서는 자세에 의한 파라데이回轉과 δ_1 의 위상지연이 복합적으로 나타나며 l_2 에서는 δ_2 만큼의 위상지연이 나타난다.

따라서 人为偏光狀態가

$$\left(\begin{array}{c} E_x \\ E_y \end{array} \right)_0 = \left(\begin{array}{c} 0 \\ E_0 \exp(j\omega t) \end{array} \right) \quad (10)$$

인 경우 Jones matrix를 사용하여 출려의 선계상분을 구하면 다음과 같다.^{18,19)}

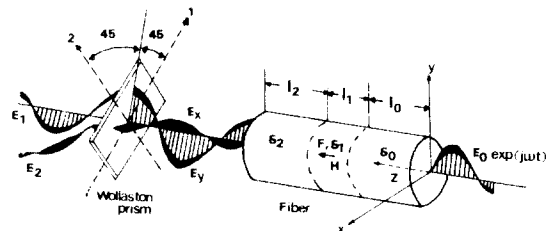


그림 6 Birefringence와 파라데이회전의 상호관계
Interaction of birefringence and Faraday rotation.

$$\begin{pmatrix} E_x \\ E_y \end{pmatrix} = \begin{pmatrix} -BE_0 \exp[j(\omega t + \delta_2/2)] \\ |A|E_0 \exp[j(\omega t + \delta_2/2 - \chi)] \end{pmatrix} \quad (11)$$

위 식에서 x 는

$$\chi = \tan^{-1} \left\{ \frac{\delta_1/2}{[F^2 + (\delta_1/2)^2]^{\frac{1}{2}}} \right\} \tan[F^2 + (\delta_1/2)^2]^{\frac{1}{2}} \quad (12)$$

이 된다.

이 出力光은 광학축 1, 2가 y 축과 45° 의 각으로 놓인 Wollaston 프리즘을 통과시켜 실험적으로 파라데이비轉과 birefringence를 分析할 수 있다.

그림 6과 같이 공간적으로 분리되고 직선광 패턴 빛 E_1, E_2 가 프리즘을 통과하여 광점출기로 검출되며 그 원광방향은 1, 2 축과 각각 일치한다.

이 두 빛의 세기는

$$E_1 = \frac{E_x + E_y}{\sqrt{2}} \quad (13)$$

$$E_2 = \frac{E_x - E_y}{\sqrt{2}} \quad (14)$$

로 나타난다.

아날로그回路에 의해 구할 수 있는 신호 S 를 정의하면

$$S = \frac{|E_1|^2 - |E_2|^2}{|E_1|^2 + |E_2|^2} \quad (15)$$

와 같고 식(11)과 식(13), (14)를 식(15)에 대입하여 정리하면

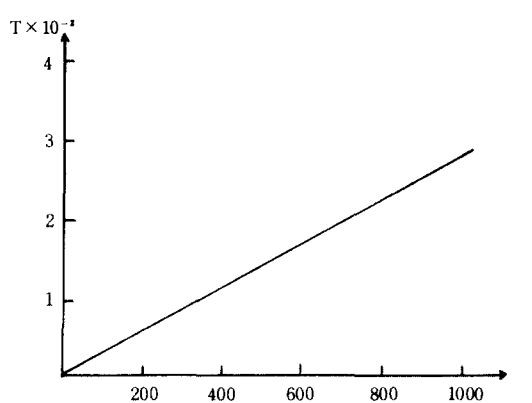


그림 7 자계의 세기에 대한 검출기 출력 그래프
Graph of detector output against magnetic field intensity.

$$S = 2|A|B \cos(\chi + \delta_2) \quad (16)$$

와 같은 식을 얻을 수 있다.

자계의 세기 및 광섬유의 질이의 조절로 가능한 $F \gg \delta_1/2$ 의 조건으로부터 식(16)을 근사화하면

$$T = \sin 2F \quad (17)$$

로 주어지므로 광섬유를 전류에 의해 유도된 자계를 측정하는데 쉽게 응용될 수 있음을 알 수 있다. 그리고 일반적으로 자계에 의한 파라데이回轉角은 상당히 작으므로 sin함수의 성질을 이용하면 $T \approx 2F$ 로 근사화할 수 있다.

따라서 위 식에 光纖維파라미터값을 대입하여 검출기 출력 T 와 자계의 세기 H 의 관계를 구하면 그림 7과 같이 선형적으로 주어진다.

그림에서 자계의 세기에 대한 검출기 출력의 선형관계는

$$T = 2.8 \times 10^{-5} H \quad (18)$$

로 주어지므로 자계에 의한 polarization rotation sensitivity는

$$F/H = 1.4 \times 10^{-5} \text{ rad}/[\text{A}/\text{m}] \quad (19)$$

로 주어진다.

마지막 $\sin x = x$ 의 근사는 $x < 14^\circ$ 에서 1% 오차 한계를 가지므로 식으로부터 17K[A/m]까지의 자계의 세기를 1% 이내의 오차로 선형적으로 측정 가능함을 알 수 있다.

5. 結論

本論文에서는 MCT를 구성하기 위한 單一모우드光纖維의 偏光特性 및 파라데이비轉에 관하여理論 및 實驗分析을 하였다.

分析過程에서 單一모우드光纖維는 선형지연기로 모델링하였고 Jones 행렬을 이용하여 intrinsic birefringence를 해석하였으며 측정결과 $2.57^\circ/\text{m}$ 의 낮은 값으로 나타났다.

光纖維가 구부림을 받았을 때 나타나는 birefringence 현상은 구부림 반지름 제곱의 역수에 선형적으로 변화하는 것이 理論 및 實驗에 의하여 分析되었다.

그리고 光纖維를 전류 측정용 sensor로 사용하기 위한 이론인 單一모우드光纖維의 파라데이비轉을 Jones 행렬을 사용하여 해석한 결과 원광회전감도가 $F/H = 1.4 \times 10^{-5} \text{ rad}/[\text{A}/\text{m}]$ 로 나타났다.

본 연구는 1982년도 문교부 학술연구교장비로
이루어진 논문임.

参考文献

- (1) V. Ramaswany et al., "Polarization effects in short length single mode fibers," B. S. T. J., vol. 57, no. 3, pp. 635, 1978.
- (2) P. Kaminow, "Polarization in optical fibers," IEEE J. Quantum Electronics, vol. QE-17, no. 1, p. 15, 1981.
- (3) T. G. Giallorenzi et al., "Optical fiber sensor technology," IEEE J. Quantum Electronics, vol. QE-18, no. 4, pp. 628, 1982.
- (4) Nobuyuki Imoto et al., "Birefringence in single mode optical fiber due to elliptical core deformation and stress anisotropy," IEEE Quantum Electronics, vol. QE-16, no. 11, p. 1267, 1980.
- (5) H. Schneider et al., "Low birefringence single mode optical fibers; Preparation and polarization characteristics," Appl. Opt., vol. 17, p. 3035, 1978.
- (6) R. Ulrich & A. Simon, "Polarization optics of twisted single mode fibers," Appl. Opt., vol. 18, no. 8, p. 2241, 1979.
- (7) R. Ulrich et al., "Bending-induced birefringence in single mode fibers," Opt. Lett., vol. 5, no. 6, p. 273, 1980.
- (8) G. B. Hocker, "Fiber-optic sensing of pressure and temperature," Appl. opt. vol. 18, no. 9, p. 1445, 1979.
- (9) S. C. Rashleigh, "Magnetic field sensing with a single mode fiber," Opt. Lett., vol. 6, p. 19, 1981.
- (10) 金恩洙, 朴漢奎, "Single mode optical fiber의 polarization과 magneto optic", 성에 관한 연구," 대한전자공학회, 1982년도 하계 종합학술발표대회, vol. 5, no. 1, p. 116, 1982.
- (11) J. F. Nye, "Physical properties of crystals," Oxford press, 1957.
- (12) A. Papp & H. Harms, "Magneto-optical current transformer," Appl. Opt., vol. 19, no. 22, pp. 3729, 1980.
- (13) A. M. Smith, "Automated birefringence measurement system," J. phys. E, vol. 12, 1979.
- (14) 金恩洙, 朴漢奎, "나일론우드 생점유의 Birefringence에 관한 연구" 한류동신학회지 제7권, 제4호, p. 161, 1982.
- (15) D. Gray, "American Institute of Physics Handbook," New York, McGraw Hill, 1976.
- (16) A. M. Smith, "Birefringence induced by bends and twists in single mode optical fiber," Appl. Opt., vol. 17, no. 5, p. 2606, 1980.
- (17) A. M. Smith, "Optical fiber for current measurement application," Opt. and Laser Tech, p. 25, 1980.
- (18) W. J. Tabor, & F. S. Chen, "Electromagnetic propagation through material, possessing both Faraday rotation and birefringence," J. Appl. phys., vol. 40, no. 7, p. 2750, 1969.
- (19) H. Harms, A. Papp, "Magnetooptical properties of index gradient optical fibers," Appl. Opt., vol. 15, no. 3, p. 799, 1976.

李相孝 (Sang Hyo LEE) 正會員
 1941年5月23日生
 1969年2月：首都工大電氣工學科卒業
 1971年2月：延世大學院電氣工學科卒業（工學碩士）
 1981年2月：延世大學院電氣工學科修了（工學博士）
 1980年～現在：光云大學電子工學科助教授



金恩洙 (Eun Soo KIM) 正會員
 1955年8月1日生
 1978年2月：延世大學校電子工學科卒業
 1980年2月：延世大學校大學院電子工學科卒業（工學碩士）
 1980年3月～現在：延世大學校大學院電子工學科博士課程
 1981年3月～現在：光云工科大學電子工學科助教授

